

Brain Electrical Stimulation for Animal Navigation

Amirmasoud Ahmadi¹, Sepideh Farakhor Seghinsara¹, Mohammad Reza Daliri², and Vahid Shalchian^{3*}

¹ M.Sc. Student, Biomedical Engineering Department, School of Electrical Engineering, Iran University of Science and Technology, Tehran, Iran

² Associate Professor, Biomedical Engineering Department, School of Electrical Engineering, Iran University of Science and Technology, Tehran, Iran

³ Assistant Professor, Biomedical Engineering Department, School of Electrical Engineering, Iran University of Science and Technology, Tehran, Iran

Received

Abstract

The brain stimulation and its widespread use is one of the most important subjects in studies of neurophysiology. In brain electrical stimulation methods, following the surgery and electrode implantation, electrodes send electrical impulses to the specific targets in the brain. The use of this stimulation method is provided therapeutic benefits for treatment chronic pain, essential tremor, Parkinson's disease, major depression, and neurological movement disorder syndrome (dystonia). One area in which advancements have been recently made is in controlling the movement and navigation of animals in a specific pathway. It is important to identify brain targets in order to stimulate appropriate brain regions for all the applications listed above. An animal navigation system based on brain electrical stimulation is used to develop new behavioral models for the aim of creating a platform for interacting with the animal nervous system in the spatial learning task. In the context of animal navigation the electrical stimulation has been used either as creating virtual sensation for movement guidance or virtual reward for movement motivation. In this paper, different approaches and techniques of brain electrical stimulation for this application has been reviewed.

Keywords: *Rat Robot, Brain Computer Interface, Electrical Stimulation, Cyborg Intelligence, Brain to Brain Interface*

*Corresponding authors

Address: Neuroscience and Neuroengineering Research Laboratory, Biomedical Engineering Department, School of Electrical Engineering, Iran University of Science and Technology (IUST), Tehran, Iran

Tel: +98-21-73225738, +98-21-73225628

Fax: +98-21-73225777

E-mail: daliri@iust.ac.ir, shalchyan@iust.ac.ir

تحریک الکتریکی مغز برای هدایت و جهت‌دهی حیوان

امیرمسعود احمدی^۱، سپیده فراخور سقین سرا^۱، محمدرضا دلیری^{۲*}، وحید شالچیان^{۳*}

^۱ دانشجوی کارشناسی ارشد مهندسی پزشکی، گروه بیوالکتریک، دانشکده مهندسی برق، دانشگاه علم و صنعت ایران، تهران

^۲ دانشیار، گروه بیوالکتریک، دانشکده مهندسی برق، دانشگاه علم و صنعت ایران، تهران

^۳ استادیار، گروه بیوالکتریک، دانشکده مهندسی برق، دانشگاه علم و صنعت ایران، تهران

تاریخ دریافت مقاله: ...

چکیده

یکی از موضوعات مهم در بحث فیزیولوژی عصبی، موضوع تحریک الکتریکی مغز و کاربردهای گسترده آن می‌باشد. در روش‌های تحریک الکتریکی مغزی، پس از اجرای جراحی و کاشتن الکتروده، پالس‌های الکتریکی به سمت نقاط مشخص مغز ارسال می‌شود. این روش تحریک، مزایای درمانی برای کنترل دردهای مزمن، کنترل رعشه، کنترل بیماری پارکینسون، کنترل افسردگی و همچنین کنترل اختلال حرکتی عصبی دارد. یکی از زمینه‌هایی که در آن اخیراً پیشرفت‌های خوبی صورت پذیرفته است، کنترل حرکت و جهت‌دهی حیوانات در مسیر خاص می‌باشد. در همه موارد نام برده شده شناسایی نقاط هدف به منظور تحریک مناسب در ناحیه از مغز از اهمیت زیادی برخوردار است. سیستم جهت‌دهی حیوان بر مبنای تحریک الکتریکی، به منظور توسعه مدل‌های رفتاری جدید با هدف ایجاد یک بستر ارتباطی با سیستم عصبی حیوان در فرآیند یادگیری حرکت در موقعیت‌های مکانی استفاده می‌شود. از تحریک الکتریکی مغز هم‌به‌عنوان راهنمایی با ایجاد حس مجازی و هم‌به‌عنوان عامل انگیزشی با ایجاد حس پاداش مجازی برای هدایت و جهت‌دهی حیوان استفاده شده است. در این مقاله، مروری بر انواع رویکردها، اصول و روش‌های تحریک الکتریکی مغزی استفاده شده در این کاربرد انجام گرفته است.

کلیدواژه‌ها: رت‌ربات، واسط مغز و کامپیوتر، تحریک الکتریکی، هوش سایبرگ، واسط مغز-مغز

*محمدرضا دلیری - وحید شالچیان

نشانی: آزمایشگاه علوم و مهندسی اعصاب، گروه مهندسی پزشکی، دانشکده مهندسی برق، دانشگاه علم و صنعت ایران، تهران، ایران.

تلفن: ۷۳۲۲۵۶۲۸ - ۷۳۲۲۵۷۳۸

دورنگار: ۷۳۲۲۵۷۷۷

پست الکترونیکی: shalchyan@iust.ac.ir daliri@iust.ac.ir

۱- مقدمه

مفاهیم اولیه سیستم واسط مغز و کامپیوتر^۱ اولین بار به عنوان یک مسیر مصنوعی از سیستم عصبی در سال ۱۹۶۴ توسط دکتر والتر معرفی شده است [۱]. امروزه، ترکیبی از سیستم های سخت افزاری و نرم افزاری برای برقراری ارتباط با سیستم عصبی را واسط مغز و کامپیوتر می نامند و تا به امروز، بیشتر تکنیک های واسط های مغز و کامپیوتر بر روی رمزگشایی فعالیت مغز تمرکز کرده اند [۱-۷۵]. به دلیل آنکه در اکثر سیستم های واسط مغز و کامپیوتر هدف اولیه ارائه روش های جایگزینی برای کمک به افراد معلول می باشد [۳]. به منظور درک سیگنال های مغز، انواع روش های تشخیصی و ثبت از جمله الکتروانسفالوگرام، الکتروکورتیکوگرافی^۲، مگنتوانسفالوگرام^۴ و ثبت پتانسیل عمل و پتانسیل میدانی محلی از نورون ها^۵ گسترش یافته است [۵-۷]. بخشی از سیستم های واسط مغز و کامپیوتر شامل تلاش هایی برای ایجاد ارتباطی میان مغز حیوانات و کامپیوتر می باشد. از جمله این مطالعات می توان به [۸، ۹] اشاره کرد که با رمزگشایی از سیگنال های پتانسیل میدانی محلی، میزان نیروی وارده از طریق دست رت را تخمین می زنند. در دو دهه اخیر، بیوربات ها در انواع مختلف موجودات مانند حشرات [۱۰، ۱۱]، کبوتر [۱۲، ۱۳]، مارمولک [۱۴]، رت [۱۵-۱۷] ارائه شده است. با وجود اینکه تلاشهای گسترده ای در حوزه واسطهای مغز-کامپیوتر برای ترجمه سیگنالهای مغزی به دستورات کنترلی انجام شده است، رویکرد گروه دیگری از تحقیقات ایجاد یک واسط برای ارتباط با مغز و تاثیر گذاری از طریق تحریک الکتریکی بافتهای مغزی برای مقاصد مختلف می باشد. در میان این تلاش ها، مطالعه [۱۶]، توجه بسیاری از محققان را جلب کرده است. آنها نشان داده اند که حیوان را می توان از راه دور با میکروتحریک نواحی خاصی از مغز، هدایت و کنترل نمود. ناحیه دسته پیش مغز میانی^۶ (MFB) به عنوان ناحیه هدف پاداش در نظر گرفته شده است که با مسیر دوپامینی مزولیمبیک^۸ مرتبط می باشد. از آنجائی که برای آموزش یک رفتار مطلوب در یک حیوان شرطی سازی بایستی انجام شود، برای یک آموزش موفق نیاز به انجام یک رفتار خاص و یک پاداش به دنبال آن رفتار است. بعنوان یک نمونه از آزمایشات

رفتاری، لی و همکاران اثر دو ماز مختلف، یکی T شکل و دیگری ماریپچ W، را جهت آموزش رت ها استفاده کردند و بعد از پانزده مرحله آموزش نشان دادند رت هایی که توسط ماز T آموزش یافتند جواب بهتری به تحریک دادند و ماز ساده T شکل برای آموزش به مراتب بهتر از ماریپچ بود [۱۷]. سان و همکاران روش اتوماتیک کنترل و هدایت حرکات رت را بررسی نمودند. در این پژوهش دستور تحریک، توسط واسط مغز و کامپیوتر به طور مستقیم به مغز رت اعمال شد و از شبکه عصبی رگرسیون عمومی برای تجزیه و تحلیل و مدل سازی از روش کنترل انسانی استفاده شد و داده ها از موقعیت رت، توسط دوربین های بالای ماز، به کامپیوتر منتقل و توسط شبکه عصبی رگرسیون عمومی آنالیز شده و دستور اعمال می گردید [۱۵]. کنترل دقیق زمانی و پارامتر های تحریک در حلقه بسته می تواند بهبود قابل توجهی در روش کنترل اتوماتیک داشته باشد. در [۱۶] با استفاده از سخت افزار مناسب، توانسته اند تحریک و ثبت را از همان الکتروود کاشته شده انجام دهند و به طور قابل ملاحظه ای تحریک های مصنوعی را کاهش دادند و به طور خاص این سیستم فیدبک تحریک در پاسخ به پتانسیل عمل را در پانزده ثانیه اعمال می کرد و همچنین تحریک را براساس وقایع رفتاری مانند ردیابی ویسکر رت که توسط ویدئو سرعت بالا، گرفته می شد اعمال می کرده است. سیستم دیگر پیشنهاد شده است که تفاوت عمده ای با سیستم های قبلی دارد: اولاً این اجازه را به رت می دهد توسط دوربینی که در پشتش قرار دارد به نکاتی که انسان مشخص می کند مانند چهره انسان یا نشانه ها را دریابد و آنها را به کامپیوتر منتقل کند. دوماً می تواند رت را توسط نشانه ها به طور اتوماتیک هدایت کند (ابتدا پردازش تصویر بعد از اعمال تحریک). اما مشکل هدایت اتوماتیک این است که یک تحریک برای چرخش به تنهایی نمی تواند باعث چرخش رت شود و باید یک سری تحریک اعمال شود که این مشکل با تقلید از هدایت مدل انسانی با حلقه بسته طراحی شد و این سری رت ها با کنترل اتوماتیک را به عنوان "سایبورگ رت"^۱ نام گذاری کرده اند و نتایج نشان می دهد که این روش کنترل هدایت، درصد دقت و سرعتی همانند هدایت-دستی دارد و حتی در بعضی موارد بهتر هم بوده است [۱۸]. اخیراً در [۱۹] به مقایسه ی روش های مختلف در حل ماز

^۱ Rat^۲ Medial ForeBrain Bundle (MFB)^۳ Mesolimbic^۴ GRNN^۵ Rat Cyborg^۱ Brain Computer Interface (BCI)^۲ EEG^۳ ECG^۴ MEG^۵ LFP

جدید در هدایت و جهت‌دهی رت مورد بررسی قرار گرفته و جمع‌بندی و مقایسه بین روش‌ها صورت پذیرفته است.

۲- نواحی اعمال تحریک

با تنظیم فعالیت های نورونی نواحی خاص می‌توان رفتار حیوانات را کنترل نمود و باتوجه به مطالعات سه رویکرد متفاوت در این زمینه وجود دارد:

- ۱- ایجاد انگیزه حرکت بر مبنای پاداش مجازی
- ۲- القای جهت حرکت بر مبنای حس مجازی
- ۳- تحریک مستقیم نواحی حرکتی

آماده‌سازی اولیه به همراه آموزش می‌تواند از راه‌های مختلفی از جمله پاداش و نشانه و یا احساس ترس انجام شود. رایج‌ترین روش برای این کار تحریک نواحی پاداش از جمله MFB، هیپوتالاموس و... می‌باشد. اگر تحریک پاداش همراه با رفتار صحیح حیوان باشد مراحل بعدی آزمایش و تست نهایی را حیوان سپری می‌کند و این فرآیند یک روش تنظیم فعالیت نورونی غیراجباری برای کنترل حرکت می‌باشد که در آن حیوان براساس اراده خود روند هدایت را طی می‌کند. از سوی دیگر، تنظیم فعالیت نورونی اجباری اغلب به‌وسیله تحریک نواحی مغزی مرتبط با حرکت صورت می‌پذیرد.

۱-۲- تحریک نواحی پاداش

در میان مناطق مختلف شناخته شده مغز، بسیاری از محققان برای اعمال شرایط پاداش مسیر دوپامینرژیک به عنوان ناحیه هدف تحریک برگزیده اند. مسیرهای دوپامینرژیک، پیوندهای قوی شامل نورون‌های دوپامینرژیک است که دو ناحیه مغز را به هم وصل می‌کند. نورون دوپامینرژیک، دوپامین را به عنوان یک انتقال‌دهنده عصبی در مقصد سیناپسی خود انتقال می‌دهد. مسیرهای دوپامینرژیک نقش مهمی در ناحیه کنترل موتور، رفتار مبتنی بر پاداش و انتشار هورمون دارند. بسته به ناحیه هدف، مسیرهای دوپامینرژیک در چهار مسیر متفاوت قرار می‌گیرند: مسیر مزولیمبیک مسیر مزوکورتیکال، مسیر توبرو^۴ اینفوندیولار. مسیر مزولیمبیک به عنوان یک مدار پاداش در میان فرآیندهای عصبی شناخته می‌شود [۲۲]. مسیر مزولیمبیک از منطقه تگمنتال شکمی از طریق اکومینس گسترش می‌یابد که شدیداً به یادگیری، حافظه، پاداش و انگیزه مرتبط می‌باشد. بنابراین به طور معمول به عنوان وسیله‌ای برای

پرداخته شده است: سه روش حل ماز: ۱- توسط کامپیوتری با تست مسیر های پیش رو ۲- توسط سایبورگ رت ۳- رت های معمولی. به رت های معمولی که به خط پایان می رسیدند پاداش کره بادام زمینی و آب داده می شد. در سایبورگ رت ها که به خط پایان می رسیدند ناحیه MFB تحریک می شده است. نشان دادند تعداد دفعاتی که سایبورگ رت از خانه های تکراری عبور کرده کمتر از رت های معمولی بود و تقریباً معادل کامپیوتر بوده است. پس حل ماز با معیار تعداد قدم ها ، در سایبورگ رت بهتر از رت های معمولی و در حد کارائی کامپیوتر بود. حد پوشش، یعنی تعداد خانه هایی که حداقل یک بار عبور داشته در سایبورگ رت ها بهتر از رت های معمولی و در حد کارائی کامپیوتر بود و عبور کمتری داشته است. زمان رسیدن به هدف تعیین شده در سایبورگ رت ها خیلی کمتر از رت های معمولی بود و در مجموعه در حل نمودن ماز، سایبورگ رت ها بهتر از رت های معمولی بودند. در پژوهش دیگری برای حل ماز فقط بر مبنای تحریک MFB استفاده شده در این کار آموزش سنگین تری داشته است و از رت های معمولی برای درک چرخش اشتباه استفاده شده است. در این کار رت های معمولی در یک ماز T شکل آموزش داده شدند. به نحو خاصی تحریک MFB اعمال می شود و زمانی که رت های معمولی مسیر اشتباهی را انتخاب می کردند تحریک قطع شده و رت های معمولی از این قطع شدن تحریک به اشتباه خود پی می بردند و در تست نهایی رت های معمولی توانسته اند با دقت میانگین نود درصد ماز را حل کنند [۲۰]. می توان با کمک یک شبکه حسگر بی سیم، یک حیوان را برای عملیات جستجو و شناسایی محیط و همچنین در عملیات نجات استفاده کرد. هر یک از حیوانات می توانند یک شبکه حسگر بی سیم برای جمع آوری اطلاعات، پردازش، و ارتباطات شبکه و همکاری در مسیریابی و انتقال و بسته بندی، در کوله پشتی حمل نمایند. محققین یک شبکه حسگر را معماری نمودند و به عنوان یک طرح مسیریابی ساده اما کارآمد و مناسب به عنوان "کوله پشتی با قابلیت اکتشاف و جستجو" که می تواند تصاویر را دریافت و ارسال کند برای بهره برداری معرفی کردند [۲۱]. در این مقاله مروری بر رویکردهای مختلف، اصول و روش های تحریک الکتریکی مغز برای هدایت و جهت دهی حیوان خواهیم داشت و رویکردهای

^۵ Tuberoinfundibular

^۶ Ventral tegmental area (VTA)

^۷ Accumbens

^۱ Step

^۲ Dopaminergic

^۳ Mesolimbic

^۴ Mesocortical

پیشنهاد داده‌اند که ترکیبی از ترس و اضطراب را القا می‌کند و برای دستور "توقف" در عمل هدایت رت مورد استفاده قرار گرفته‌است [۳۱، ۳۲]. تحریک ناحیه خاکستری پرایاکتونیک باعث رفتار تدافعی و همچنین باعث افزایش فشارخون و ضربان قلب می‌شود [۳۳-۳۵].

۲-۲- تحریک ناحیه حسی پیکری

تحقیقات در زمینه کنترل حیوانات، مخصوصاً جوندگان، با تحریک الکتریکی در مغز، توسط چندین محقق انجام شده‌است. برخلاف ناحیه‌های موتوری که باعث حرکت غیرارادی می‌شود، تحریک قشر حسی پیکری بیشتر مربوطاً به آموزش حرکت‌های داوطلبانه حیوان براساس خواسته‌ی آزمایش‌کننده می‌باشد. در فاز آموزش حرکت از تنظیم زمانی تحریک MFB و تحریک ناحیه حسی پیکری استفاده می‌کنند. تحریک ناحیه حسی-پیکری در نیم‌کره راست باعث می‌شود که رت در سمت مقابل (سمت چپ) احساس برخورد به یک مانعی را داشته باشد. همین امر برای تحریک بر نیم‌کره چپ نیز صادق است. قشر حسی پیکری موجود در هر دو نیم‌کره راست و چپ به عنوان نشانه به حیوان استفاده شده‌است و اعتقاد بر آن است پاسخ به تحریک دوطرفه است به این منظور که تحریک یک نیم‌کره بر دیگری تأثیر می‌گذارد [۳۶]. به‌طور خاص، رت‌ها اطراف خود را به‌وسیله ویسکرهای خود شناسائی می‌کنند. دریافته‌اند که حتی فعالیت یک نورون این ناحیه می‌تواند بر روی شناسائی محیط حیوانات تأثیر بگذارد [۳۷]. ناحیه مربوط به ویسکر یا قشر بارل یکی از مناطق معمول برای راهنمایی جهت حرکت به رت می‌باشد [۱۵، ۱۶، ۱۹، ۲۰، ۳۸، ۳۹]. فاصله بین ویسکرها بسیار کم می‌باشد اما در مغز به شکل بهتری نواحی مرتبط به‌آنها توزیع شده‌است (شکل ۱). به همین علت برای کنترل جهت حرکت مورد استفاده قرار می‌گیرد [۴۰]. با آنالیز سیگنال‌های الکتریکی در قشر بارل در زمان هدایت رت در یک دالان دریافته‌اند که قشر بارل رت اطلاعات مفیدی در ارتباط با حرکت و فاصله در خود ذخیره می‌کند [۴۱]. رت محیط اطراف خود را به وسیله مجموعه ویسکرهای خود با پردازش محرک‌های محیطی می‌شناسد. بسیاری از مطالعات توصیف کرده‌اند که مسیر نیگرواستریاتال ارتباط عمیق با رفتار چرخشی در حیوانات دارد [۴۲-۴۴].

۲-۳- تحریک مسیر موتوری

آموزش حیوانات مانند جوندگان و میمون استفاده می‌شود. ناحیه هدف معمول مسیر مزولیمبیک، ناحیه MFB است که شامل هسته اکومبنس می‌باشد. جمیع محققان پذیرفته‌اند که تحریک ناحیه MFB باعث احساس پاداش و لذت می‌شود و اثر پاداش تحریک آن با استفاده از دوز مناسبی از آنتاگونیستهای دوپامین تنظیم می‌شود [۲۳]. از آنجایی که فعال شدن مسیر مزولیمبیک باعث احساس مطلوب و پاداش می‌شود، بسیاری از گروه‌های تحقیقاتی از تحریک این ناحیه برای آموزش رت استفاده می‌کنند. با این حال، برای کنترل و هدایت حیوانات تحریک این ناحیه به تنهایی کافی نمی‌باشد و باید همراه با علائم حرکتی اعمال شود. با این وجود، تالوار و همکاران گزارش داده‌اند که تحریک MFB نه‌تنها برای حرکت به سوی جلو بلکه برای حرکت‌های ابتکاری مانند صعود یا فرود نیز می‌تواند مورد استفاده قرار گیرد [۱۶]. ائتافک شرطی سازی معمولاً به نام "جعبه اسکینر" شناخته می‌شود و توسط اسکینر برای مطالعات رفتاری حیوانات به ویژه برای شرطی سازی عامل و شرطی سازی کلاسیک طراحی شده است و به‌طور گسترده‌ای برای آموزش پاداش MFB در جوندگان استفاده می‌شود [۲۴]. ترس، یکی از احساساتی است که توسط مدولاسیون نورونی کنترل می‌شود که در حیوانات به صورت غریزی در طول تکامل ایجاد شده‌است. یادگیری برپایه ترس بسیار قوی‌تر از یادگیری مبتنی بر پاداش است. سیستم لنفاوی به احساسات مانند لذت، خشم، ترس و شادی در مغز مرتبط است. سیستم لیمبیک شامل هیپوکامپ، هیپوتالاموس، آمیگدال می‌باشد [۲۷]. آمیگدال شامل دو گروه هسته است که درانتهای سیستم لیمبیک قرار دارد. هوآی و همکاران برای کنترل حرکت رت ناحیه آمیگدال را هدف قرار داده‌اند و با تحریک الکتریکی این ناحیه توانسته‌اند رت را کنترل نمایند و رت را براساس گزینه فرار از مجازات که به‌صورت مجازی اعمال می‌شود، هدایت کرده‌اند [۲۸]. با این حال برخی از مطالعات نشان داده‌اند که آمیگدال نقش محوری در تمایز میان پاداش‌ها بازی می‌کند [۲۹]. کوئن و پرزکوت یک سیستم کنترل و هدایت رت را براساس مجموعه نواحی گانگلیاهای هیپوکامپ-آمیگدال-بارل طراحی کرده‌اند [۳۰]. انتخاب ناحیه آمیگدال برای مجازات مجازی مورد بحث است و به‌همین دلیل به‌عنوان یک جایگزین احتمالی، ژنک و همکارانش، ناحیه خاکستری پرایاکتونیک را

† Limbic System

‡ Periaqueductal Gray

§ Somatosensory

‡ Dopamine antagonists

§ Operant conditioning

¶ Neuromodulation

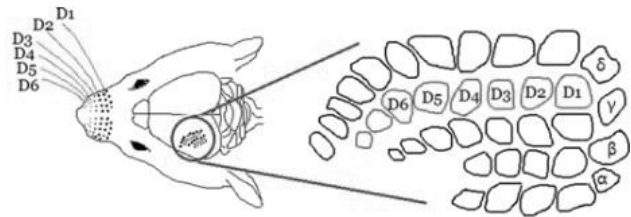
باشد. با این حال بیشتر تحقیقات این حوزه بر توان بخشی عصبی تمرکز نموده اند [۴۶-۴۸].

جدول (۱): مشخصات کلیدی مدالیت‌های مختلف

۳- اصول و روش‌های تحریک الکتریکی مغز

برای کنترل حرکت حیوانات چندین منطقه مغز مورد هدف قرار گرفته‌است. تحریک ولتاژ و جریان دو روش معمول تحریک الکتریکی می‌باشد. در میان مهندسان عصبی، عملکرد قطارهای پالس دوقطبی مؤثرتر از قطارهای پالس تک‌قطبی برای تحریک عصبی گزارش شده‌است [۴۹]. در میان شکل موج‌های مختلف، شکل موج مستطیلی معمولاً برای تحریک مغز به کار می‌رود و اثرات تحریک متناسب با اینکه تحریک از نوع ولتاژ یا جریان باشد، متفاوت است. پالس‌های تک‌قطبی تنها یک قطب مثبت یا منفی با فاز صفر دارد و پالس دوقطبی دارای فاز مثبت و منفی است و پارامترهای تحریک شامل چهار عنصر دامنه، عرض پالس، نرخ پالس و زمان کل تحریک می‌باشد. شدت تحریک را می‌توان با تنظیم دامنه و زمان پالس کنترل کرد. شکل ۲، شکل موج تک‌قطبی و دوقطبی را توصیف می‌کند و برای درک بهتر، روش انتقال محرک تولید شده نیز ارائه شده‌است. پالس تک‌قطبی از آنجایی که تنها یک قطب دارد، منجر به واکنش برگشت ناپذیر فارادیک و افزایش احتمال آسیب رسیدن به بافت یا الکتروود می‌شود. همانطور که در شکل ۳ نشان داده شده است هنگامی که با قطار تک‌قطبی عمل تحریک صورت می‌پذیرد، بارهای منفی در محل تحریک باقی می‌ماند زیرا هیچ فازی برای لغو بار منفی اعمال نمی‌شود و این امر می‌تواند منجر به آسیب به بافت‌های اطراف و همچنین الکتروود شود. در پالس دوقطبی، یک جریان ثابت در یک الکتروود در یک جهت و به الکتروود دیگر با فاز معکوس منتقل می‌شود. فاز اول که فاز اصلی است فاز تحریک نامیده می‌شود که باعث تولید پتانسیل عمل می‌شود و مرحله بعد فاز معکوس است که معکوس فعالیت الکتروشیمیایی در این فاز اتفاق می‌افتد که باعث کاهش فشار بار در بافت‌های اطراف می‌شود [۵۰]. (شکل ۴) با این حال، همانطور که در شکل ۴ دیده می‌شود، حتی اگر میزان بار منفی و مثبت متعادل باشد پتانسیل عمل شده به ناحیه تحریک همزمان با کاهش بار منفی، افزایش می‌یابد و ممکن است باعث خوردگی الکتروود شود و به منظور

طرح‌هایی که مسیر موتوری را به‌جای نواحی پاداش به عنوان هدف تحریک در نظر می‌گیرند، هدایت را خیلی مستقیم‌تر انجام می‌دهند. با توجه به سلسله مراتب سیستم موتوری،



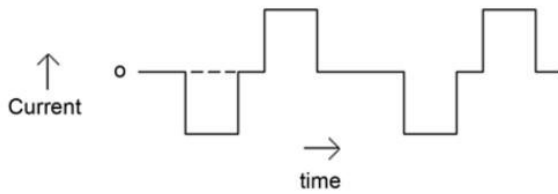
شکل (۱) - قشر بارل در رت [۵۰].

اهداف زیادی برای کنترل حرکت حیوانات وجود دارد و سیستم موتوری به طور کلی سه سطح کنترل دارد: اولاً سطح سیگمنتال، دوماً سطح پیشبینی، سوماً سطح پیش حرکتی [۴۵]. در مرحله اول، سطح سیگمنتال کمترین سطح در سلسله مراتب موتوری دارا می‌باشد و سازماندهی مدارهای نخاع که حرکات اتوماتیک گروه‌های خاصی از فیبرهای عضلانی از جمله حرکت و برخی از فعالیت‌های موتوری تکراری را کنترل می‌کند. برخی از رویکردهای حرکت برمبنای هدف قراردادن نخاع می

نواحی تحریک	پارامترهای تحریک نواحی مختلف
پاداش	فاصله پالس‌ها در اکثر مقالات ۱۰ میلی‌ثانیه می‌باشد که مدت زمان پالس ۱ میلی‌ثانیه و تعداد پالس‌ها بین ۱۰ تا ۱۵ عدد و دامنه پالس‌ها ۱ تا ۱۰ ولت‌اند [۱۸] [۲۰]. در یکی از مقالات نیز از پالس‌هایی با فاصله ۴ میلی‌ثانیه که دامنه پالس ۰/۵ تا ۰/۲ میلی‌آمپر و مدت زمان پالس ۰/۲ میلی‌ثانیه متغیر بوده استفاده شده است [۱۷].
حسی - پیکری	تعداد پالس‌های ارسال شده در این ناحیه از ۵ تا ۱۵ عدد با توجه به پارامترهای دیگر قابل تغییر بوده است. در اکثر مقالات زمان پالس ارسالی ۱ میلی‌ثانیه و دامنه ۶ تا ۸ ولت می‌باشد. قطار تحریک ۰/۲ هرتز با فرکانس ۱۰۰ هرتز در مدت زمان پالس ۰/۵ میلی‌ثانیه نیز اعمال شده است [۱۸] [۲۰] [۷۷].
موتوری	برای ناحیه پسترامدیال شکمی از پالس‌های مربعی که دارای فرکانس ۵۰ هرتز و مدت زمان پالس ۵ میلی‌ثانیه و مدت زمان قطار پالس ۰,۵ ثانیه استفاده شده است [۷۸]. در مسیر نیگرواستریاتال پالس‌ها دارای مدت زمان ۰/۲ میلی‌ثانیه با فاصله پالس ۴ میلی‌ثانیه و دامنه ۲۰۰ میکرو آمپرند [۳۹].

^۲ Biphasic Pulse

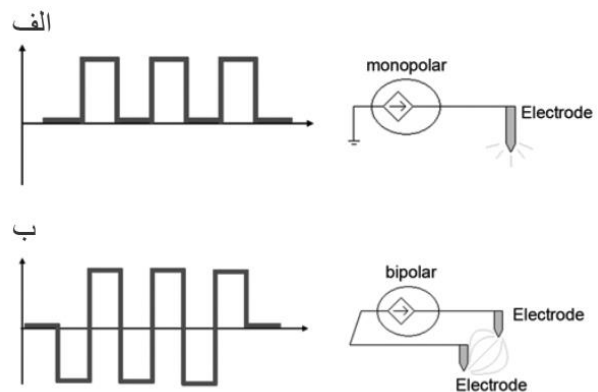
^۱ Sigmatal



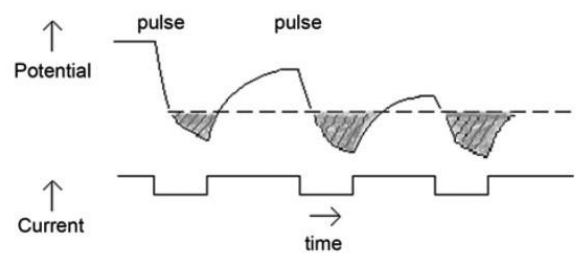
شکل (۶) - پالس دوقطبی با شارژ متوازن و تاخیر بین فاز [۵۰].

بدن انسان دارای خصوصیت مقاومت-خازنی وابسته به فرکانس می‌باشد در روش تحریک تک‌قطبی تخلیه جریان ورودی مغز بعد از انتشار در محیط مغز توسط مرجع صورت می‌پذیرد و باعث آسیب به بافت‌های مغز می‌شود اما در تحریک دوقطبی موج مربعی، تخلیه بسیار سریع اتفاق می‌افتد و تحریک متمرکزتر بر نقطه هدف اعمال می‌شود زیرا جریان خروجی توسط الکترود قطب مخالف هدایت می‌شود همچنین تغییر فوری میدان الکتریکی از منفی به مثبت باعث افزایش گرادیان الکتریکی می‌شود که موجب دفع NA از طریق غشاء شده و gNa افزایش می‌یابد بنابراین حد آستانه برای دیپلاریزاسیون تأمین شده و آکسون‌های بیشتری فعال می‌شوند در نتیجه تحریک دوقطبی نسبت به تحریک تک‌قطبی به منظور دستیابی به آستانه حسگرایانه نیاز به ولتاژ پیک کمتری دارد [۵۱، ۵۲]. تحریک کاتدی منجر به دیپلاریزاسیون و تحریک آندی سبب هایپرپلاریزاسیون محلی غشا می‌گردد. با توجه به قوانین کولن مناطق هایپرپلاریزاسیون بطور غیرمستقیم در بخش‌های دورتر از غشا دیپلاریزه می‌گردند بنابراین تحریک آندی در هایپرپلاریزاسیون محلی و بطور غیرمستقیم در دیپلاریزاسیون اجسام سلولی دورتر نتیجه می‌دهد. از این رو تحریک کاتدی محلی و تحریک آندی دورتر از سلول هدف باعث ایجاد دیپلاریزاسیون و فعالیت سلول‌ها در لایه‌های مغز می‌گردد [۷۹]. همچنین به این صورت توجیه نموده‌اند که آکسون در مناطقی که گرادیان ولتاژ ($E = -dv/dr$) حداکثر است، دیپولاریزه می‌شود. تراکم بالا پتانسیل اکثراً در گوشه‌ها و لبه‌ها در مجاورت الکترود اتفاق می‌افتد و به صورت کلی کمترین حد دیپولاریزاسیون زمانی اتفاق می‌افتد که آکسون عمود بر خطوط پتانسیل عبور می‌کند. معادله حاکم بر E_R و E_z برای الکترود تک‌قطبی و دوقطبی در زیر آمده است (فرمول (۲،۱)). در این فرمول ρ مقاومت در برابر بافت و فاصله بین دو الکترود D می‌باشد. گسترش جریان ($r=f(I)$) را می‌توان برای هر دو حالت پیش‌بینی نمود که I نمایش‌دهنده مقدار کل جریان عبوری از الکترود است و براساس معادلات مغناطیسی و شواهد تجربی

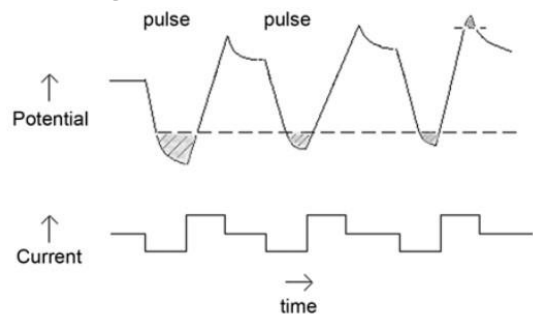
جلوگیری از این اتفاق دو روش پیشنهاد شده‌است: روش اول این است که مجموعه سطح دامنه‌های مختلف برای فاز مثبت و منفی برای جلوگیری افزایش پتانسیل در زمان قطع بار (شکل ۵) و روش دوم این است که فاز صفر-دامنه را بین فازهای منفی و مثبت وارد کنیم، زمان کافی برای بازیابی از شارژ و تخلیه فراهم شود (شکل ۶) [۵۰].



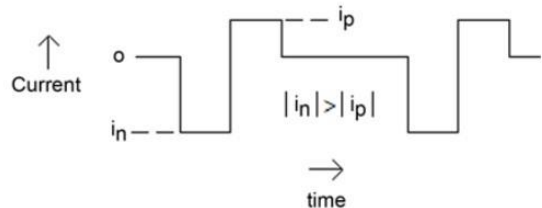
شکل (۲) - اصول روش تحریک (الف) تک‌قطبی. (ب) دوقطبی [۵۰].



شکل (۳) - پالس تحریک تک‌قطبی [۵۰].



شکل (۴) - پالس تحریک دوقطبی [۵۰].



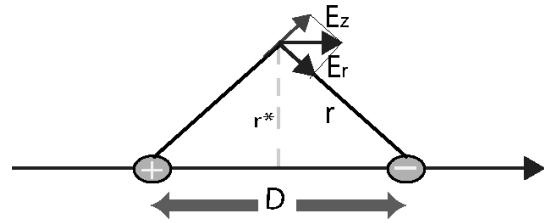
شکل (۵) - پالس دوقطبی با شارژ نامتوازن [۵۰].

هدایت یکی از مراحل ضروری برای آموزش الگوی عملکردی به رت می‌باشد. در طی آموزش دستی، آموزش‌دهنده باید ترتبات را به صورت پیوسته مشاهده کند و دستورات کنترلی را از طریق تحریک الکتریکی مکرراً ارسال کند. آموزش دستی سه مشکل اصلی دارد. اولاً، آموزش‌دهنده باید در آموزش ترتبات حرفه-ایی باشد و برای افراد بی‌تجربه سخت می‌باشد که ترتبات را آموزش دهند. دوماً، مراحل یادگیری و رفتار ترتبات را نمی‌توان برای تجزیه و تحلیل کمی و تنظیم پارامتر ثابت کرد. برای مقابله با این مشکلات سیستم آموزش اتوماتیک را پیشنهاد داده‌اند. در این سیستم، رفتار ترتبات توسط یک دوربین تحت نظارت قرار گرفته و با استفاده از یک رایانه بصورت زمان واقعی آنالیز می‌شود و براساس نتایج تحلیل شده، کامپیوتر به طور مدام تصمیم می‌گیرد تا فعالیت‌های آموزشی را ترتبات انجام دهد و یک چارچوب آموزش سلسله مراتبی که دارای یک لایه واکنشی و یک لایه مشورتی است معرفی می‌شود و براساس این چارچوب سیستم آموزش در زمان واقعی تحریک الکتریکی برای آموزش ترتبات را انجام می‌دهد [۱۸]. روش دیگری نیز با الگوبرداری و مدل‌سازی از هدایت انسانی عمل هدایت اتوماتیک را انجام می‌دهد [۱۵].

۴-۱- آموزش و هدایت دستی

تصویری از ترتبات در شکل ۹ آمده است. یک جفت الکتروود ریز تحریک در بسته نرم افزاری جلو مغز میانی و جفت دیگر در ناحیه چپ و راست حسی پیکری در مغز رت کاشته می‌شود. پس از پنج روز بهبودی، یک دستگاه تحریک بی‌سیم در پشت رت برای رساندن میکروتحرک تجهیز می‌شود و کاربر با استفاده از یک رایانه امکان ارسال پالس‌های محرک را برای هر یک از نواحی مغز حیوان از فاصله صد متری از طریق بلوتوث فراهم می‌کند. شدت پالس تحریک توسط تعداد پالس و دامنه پالس تعیین می‌شود. تحریک ناحیه بسته جلودمغز میانی سطح دوپامین را بالا می‌برد و تحریک نواحی حسی پیکری باعث می‌شود که رت تصور کند به مانعی در سمت مخالف تحریک برخورد کرده است [۵۵، ۵۶]. اتاقت شرطی‌سازی اغلب برای آموزش یک رفتار مطلوب در یک حیوان استفاده می‌شود [۱۷].

نتیجه گرفته‌اند که اولاً، در جریان بسیار کم ($\sim 0.1\text{mA}$) تحریک دوقطبی گسترش بهتری می‌یابد ولی در جریان‌های بالا گسترش جریان کم می‌باشد و این واقعیت به این دلیل است که با توان سوم فاصله مقدار جریان کاهش می‌یابد. دوماً برای جریان‌های بالا ($\sim 10\text{mA}$) استفاده از تحریک تک‌قطبی مفیدتر می‌باشد [۸۰].



شکل (۷) - مدل مورد استفاده برای محاسبه گرادیان ولتاژ

$$E(r) = \frac{-dv}{dr} = \frac{\rho}{4\pi} * \frac{I}{r^2} \quad (1)$$

$$E_z(r^*) = \frac{-dv}{dr^*} = \frac{\rho D}{4\pi} * \frac{I}{r^{*3}} \quad (2)$$

همچنین تحقیقی که بر روی انسان بر روی تفاوت این دو نوع از الکتروودهای تحریک در بیماران پارکینسونی از نظر عوارض جانبی آن بررسی شده است و به این نتیجه رسیده‌اند که تحریک دوقطبی دارای تحریک متمرکزتری می‌باشد و ناحیه نازک‌تری از بافت فعال می‌شود [۸۱]. فیلدفوت و همکاران دریافته‌اند که برخلاف باورهای سنتی، فاز مثبت پس از فاز منفی اثر تحریک‌کننده بیشتری در تحریک شدت پایین دارد [۴۹]. به غیر از تحریک الکتریکی قشر حسی پیکری، روش‌هایی برای ایجاد نشانه‌دهی هدایت در سایر اشکال تحریک نظیر تحریک نوری وجود دارد. هابر و همکاران با ریز تحریک نوری قشر بارل توانسته‌اند رفتاری را به موش در حرکت آزادانه آموزش دهند و موش آموزش‌دیده تحریک نوری را تشخیص دهد [۵۳]. در زمان‌هایی که تحریک‌های تهاجمی ضرورتی ندارد، روش‌های غیر تهاجمی برای نشانه به حیوانات با استفاده از تحریک اپتوژنتیک اعمال می‌شود. سلچیدهاناندام و همکاران ناحیه بارل در رت را به وسیله روش اپتوژنتیک تحریک نموده‌اند و دریافته‌اند که آموزش اپتوژنتیک مبتنی بر پاداش می‌تواند در کنترل رفتار رت مورد استفاده قرار بگیرد [۵۴].

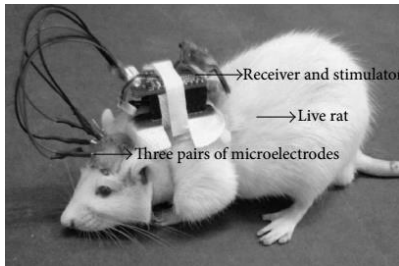
۴- الگوهای آموزش و هدایت

رت‌ربات یکی از معمولی‌ترین بیوربات‌ها می‌باشد [۱۶]. امروزه محققان در ابتدا از سه دستورالعمل هدایت (راست، چپ، روبه-جلو) برای هدایت یک رت‌ربات استفاده می‌کنند. آموزش فرآیند

^۲ Real Time

^۱ Optogenetic

در طول آموزش، شدت تحریک‌های چرخشی بدون تغییر باقی می‌ماند و فقط به‌عنوان یک نشانه عمل می‌کند اما شدت (تعداد پالس و دامنه پالس) تحریک پاداش (FORWARD) با توجه به شرایط یادگیری برای فعال کردن رت‌ربات افزایش می‌یابد و برعکس.



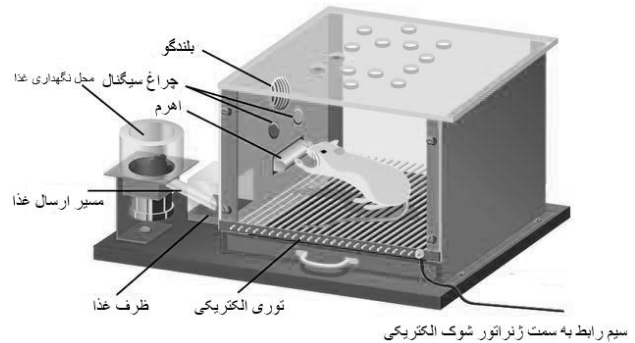
شکل (۹) - رت‌ربات [۱۸].

۴-۱-۱- فرآیند یادگیری

روش آموزش دستی در شکل ۱۰ نشان داده شده است. الکترودها ریزتحریک در عمل جراحی وارد مغز می‌شوند و فلش-های فیدبک نشان‌دهنده نیاز به آموزش دوباره رت‌ربات است. دو فرآیند که در مستطیل با نقاط نقطه‌چین قرار دارند مهمترین بخش آموزش هستند و در ادامه شرح جزئیات آنها آمده است. روش تنظیم پارامترهای تحریک بهینه برای رت‌ربات شامل دو بخش است، بخش اول فشار دادن اهرم و بخش دوم تنظیم چپ/راست است. اگر تحریک بیش از حد خفیف باشد رت‌ربات را تحریک نخواهد کرد و اگر بیش از حد قوی باشد رت‌ربات مجروح خواهد شد. مقدار مطلوب تحریک پاداش در فرآیند فشردن اهرم بهینه‌سازی می‌شود و همچنین مقدار مطلوب تحریک چرخشی در روش تنظیم چپ و راست پدیدار می‌شود. فرآیند تقویت حرکت شامل آموزش رت‌ربات برای پاسخ صحیح به تحریک می‌باشد. محیط آموزشی مورد استفاده در این قسمت یک ماز هشت بازوئی است. در این فرآیند سه وظیفه داریم.

الف) حرکت رو به جلو (T_0): این وظیفه معمولاً به عنوان T_0 نام‌گذاری می‌شود. رت‌ربات باید ماز هشت بازوئی را در جهت عقربه‌های ساعت یا خلاف عقربه‌های ساعت بدون هیچ چرخشی اشتباهی طی کند. ب) چرخش به چپ و چرخش به راست (T_1): این وظیفه به عنوان T_1 نام‌گذاری می‌شود به این صورت است که تحریک چپ و پاداش، زمانی که اعمال می‌شود رت‌ربات باید ماز هشت بازوئی را در جهت عقربه‌های ساعت بدون هیچ اشتباهی طی کند و تحریک راست و پاداش برعکس می‌باشد. براساس نحوه عمل جراحی، قبل از هر آموزشی به‌وسیله تحریک

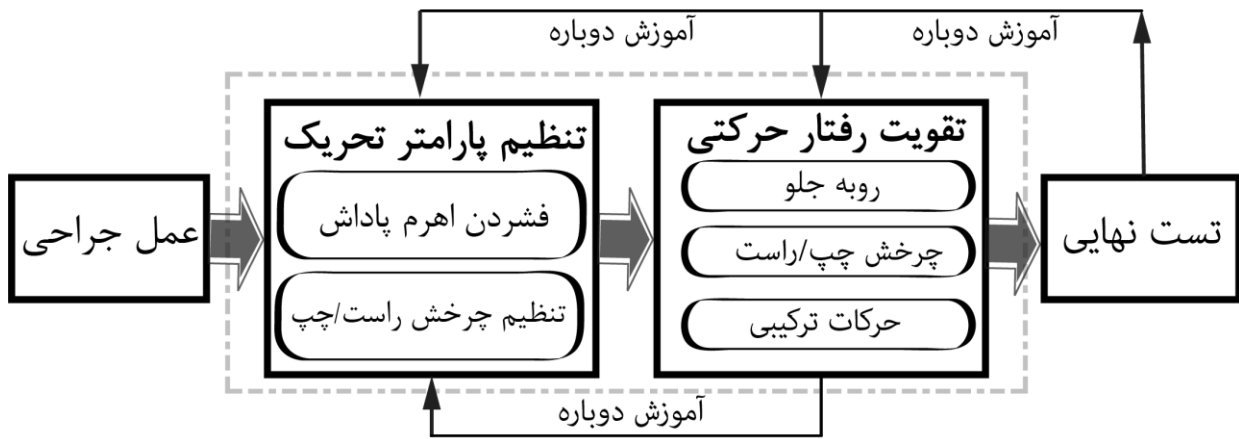
اجزای اصلی اتاقک عبارتند از یک اهرم، بلندگو، چراغ سیگنال، غذا و یا آب و کف آن شبکه ای فلزی برای شوک الکتریکی



شکل (۸) - اتاقک شرطی ساز (جعبه اسکینر)

می‌باشد. آموزش با اتاق شرطی‌سازی عمیقاً مرتبط به مفهوم تقویت شرطی و مجازات است. چهار گروه اصلی وجود دارد: اول تقویت مثبت، دوم تقویت منفی، سوم تنبیه مثبت، چهارم تنبیه منفی است. با توجه به تحریک دستجات پیش مغز میانی تقویت مثبت مطلوب‌ترین توصیف می‌باشد. تقویت مثبت زمانی اتفاق می‌افتد که پاسخ رفتاری رت در راستای رویداد مطلوب یا محرک اعمال شده باشد [۲۵]. تقویت مثبت به تحریکی گفته می‌شود که برای رفتار خاصی به حیوان اعمال می‌شود و در راستای آن هدف می‌باشد [۲۶]. یکی از روش‌های پاداش حاصل از فشردن اهرم در اتاقک شرطی‌سازی (شکل ۸) و اعمال تحریک الکتریکی به مغز می‌باشد که مطالعات صورت گرفته بر روی نواحی دستجات پیش مغز میانی و هسته عروقی خلفی و یا آمیگدال می‌باشد که ژنراتور تحریک در خارج اتاقک است و زمان‌بندی و پارامترهای تحریک را کنترل می‌کند. اگر الکترودها در ناحیه دستجات پیش مغز میانی کاشته شود هر بار که رت اهرم را فشار می‌دهد تحریک الکتریکی پاداش اعمال می‌شود. در طول این آزمایش، افزایش تمایل رت به معنای آموزش درست می‌باشد این افزایش میل به فشردن اهرم به منزله احساس پاداش در حد مطلوب و مورد قبول می‌باشد. در امر آموزش رت‌ربات، تحریک MFB به عنوان پاداش و همچنین هدایت "حرکت رو به جلو" استفاده می‌شود [۵۷، ۵۸]. تحریک چپ و راست حس‌پیکری به عنوان نشانه برای چرخش به چپ و راست استفاده می‌شود. برای بدست آوردن پاداش، رت‌ربات باید رفتارهای صحیح مرتبط با نشانه را آموزش ببیند. رت‌ربات می‌تواند تحریک مغز را از راه دور به عنوان دستورالعمل جهت حرکت دنبال کند.

پاداش برخی از رتربات‌ها ترجیح می‌دهند به سمت چپ (ج) نحوه تشخیص حالت غیرطبیعی رتربات در فاز یادگیری



شکل (۱۰) - الگوریتم آموزش هدایت به صورت دستی

مانند عدم واکنش یا واکنش بیش از حد.

(د) توسعه یک استراتژی تحریک هوشمند که قادر به تحریک-الکتریکی انعطاف‌پذیر باشد.

۱-۲-۴ - یادگیری وظائف

در مطالعه [۳۸] دریافته‌اند که آموزش حرکت در فرآیند فشردن اهرم و حرکت به سوی جلو (T_0) نیاز نمی‌باشد زیرا این رفتار در T_1 ، T_2 آموزش داده می‌شود. آموزش اتوماتیک شامل تنها T_1 و T_2 است. در کارهای گذشته دیده‌اند که بدون آموزش مرحله T_1 قبل از مرحله T_2 تعدادی از رتربات‌ها در آزمون نهایی موفق نبوده‌اند و این نشان می‌دهد که روند آموزش رتربات باید به ترتیب انجام شود [۲۰]. کل روند آموزش اتوماتیک در شکل ۱۱ نشان داده شده است. فرآیند تنظیم پارامترهای تحریک در بخش آموزش دستی توضیح داده شده است و فرآیند تقویت رفتار حرکتی که بیشترین زمان در فاز آموزش دستی را به خود اختصاص می‌دهد در این روش به صورت خودکار انجام می‌پذیرد [۱۸].

۲-۲-۴ - چارچوب کلی

چارچوب آموزش خودکار سلسله مراتبی است که در شکل ۱۲ نشان داده شده است. ورودی تصاویری است که توسط یک دوربین از بالا از رتربات گرفته می‌شود و خروجی آن تحریک می‌باشد. این چارچوب دارای دو لایه است، لایه اول، لایه واکنشی است که در زمان واقعی براساس مدل وظیفه و وضعیت دریافتی، راهنمایی‌های آموزشی را فراهم می‌کند. این لایه تصمیم می‌گیرد کدام تحریک (چپ، راست، حرکت رو به جلو) در چه زمانی ارسال می‌شود. لایه دوم، لایه مشورتی مسئول

بچرخند در حالی که بعضی‌های دیگر تمایل به چرخش به سمت راست دارند. اگر برای مثال رتربات تمایل به چرخش به سمت چپ دارد در فاز T_1 عمل چرخش به سمت چپ در مرحله اول آموزش داده می‌شود و برعکس T_{1a} عمل آموزش چرخش به سمت چپ و T_{1b} آموزش چرخش به سمت راست در این حالت می‌باشد.

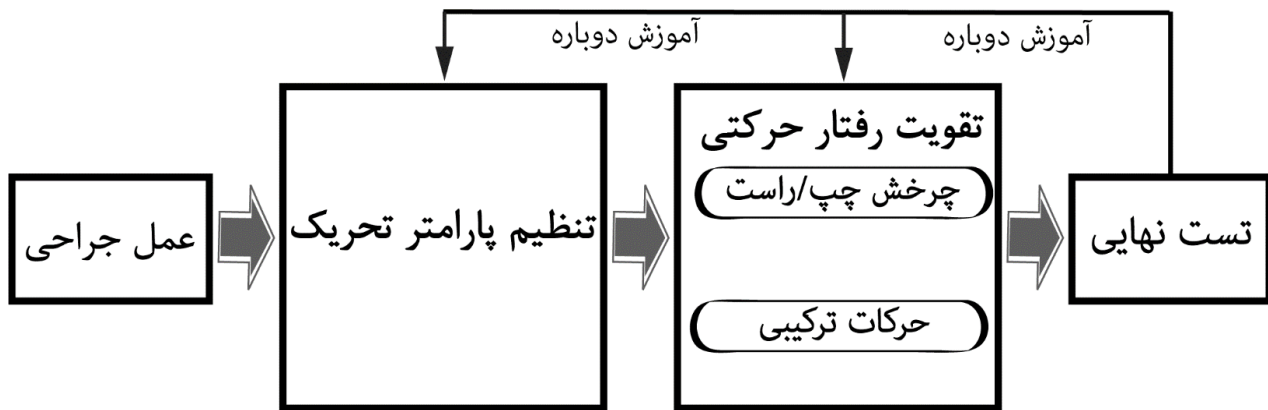
(ج) چرخش ترکیبی (T_2): این وظیفه برای تقویت رفتارهای چرخش چپ و چرخش به سمت راست به صورت همزمان می‌باشد و به وسیله پاداش و نشانه‌های چرخشی رندوم عمل هدایت صورت می‌پذیرد. در طول تقویت رفتارهای حرکتی، آموزش دهنده ممکن است سطح تحریک پاداش را براساس تجربیاتش در آموزش هدایت رتربات تنظیم کنند و بعد از اتمام وظیفه T_2 ، رتربات برای هدایت آماده می‌باشد.

۲-۴ - هدایت و آموزش به روش اتوماتیک

دو روش متفاوت در هدایت و آموزش اتوماتیک در مقالات پیشنهاد شده است. روش اول سعی بر آن دارد با شکل‌دهی قواعد ریاضی هدایت را ساماندهی نماید و روش دوم با استخراج اطلاعات و مدل‌سازی از هدایت دستی هدایت را انجام می‌دهد. رتربات‌ها دارای خودآگاهی می‌باشند و ممکن است تحت فشار فرآیند آموزش واکنش نامطلوب نشان دهند و همچنین بدن رتربات غیرقابل تشخیص است و موقعیت‌های مختلفی دارد. بنابراین، اختصاص آموزش خودکار به یک کامپیوتر با چهار مساله اساسی روبرو می‌باشد:

(الف) چگونگی تنظیم وظائف در فاز آموزش برای اطمینان از اینکه رتربات برای هدایت واجد شرایط است.

(ب) چگونگی شناسایی حرکت و رفتار رتربات در زمان واقعی.



شکل (۱۱) - الگوریتم آموزش هدایت به صورت اتوماتیک

جهت سر: مسیر مابین موقعیت بدن و موقعیت سر به عنوان جهت سر رتربات در نظر گرفته می شود. ادعا کرده اند که این روش با دقت نزدیک به ۹۰٪ ردیابی را انجام می دهد.

ردیابی رفتار: بعد از آنکه پارامترهای اولیه حرکت را دریافت کرده اند برای شهود رفتار رتربات در محیط آموزش مانند عدم حرکت، مراقبت از بدن و بالا رفتن از دیوار پلکسی گلاس به کار می رود. در روش آموزش دستی زمانی که رتربات بی حرکت می ماند فقط تحریک پاداش برای رتربات ارسال می شود و هنگامی که یک رتربات در حال مراقبت از خود و یا بالا رفتن از دیوار است نباید هیچ تحریکی ارسال شود. با این حال، در سیستم آموزش اتوماتیک امکان شناسایی حالت های مراقبت و بالا رفتن به صورت اتوماتیک نمی باشد (این دو حالت را به صورت دستی برای تجزیه و تحلیل رفتاری شمارش می شود) دلائلی که مطرح کرده اند: به دلیل وجود یک دوربین کیفیت پائین در بالای ماز هشت بازوئی در زمان واقعی شناسایی این حالت ها نباید بر روی آموزش خودکار تاثیر بگذارد. ولی باید حالت بی حرکتی و سکون در رتربات شناسایی شود زیرا اگر تحریک در این مدت اعمال نشود این حالت طولانی می شود. روش های پیشنهادی در این حالت شناسایی گوشه های تصویر و بررسی تغییرات آن در فریم های مختلف می باشد که توانسته اند با دقت ۹۷/۱٪ این حالت را شناسایی کنند [۱۸].

۲-۲-۴-۲-۲-۲ - طرح وظائف یادگیری

بر اساس طرح وظائف یادگیری تصمیم گیری مرتبط ارسال می شود. محیط آموزش یک ماز هشت بازوئی است (شکل ۱۳). بنابراین می توان وظائف آموزشی را به هشت وظیفه تقسیم کرد که حرکت بین بازوها می باشد.

۳-۲-۲-۴-۲-۲ - ارزیابی وضعیت یادگیری

تنظیم تحریک پاداش متناسب با شرایط یادگیری رتربات است. هر واحد این چارچوب در ادامه شرح داده شده است.

۱-۲-۲-۴-۲-۲ - ردیابی رت

دو روش اصلی برای ردیابی موش وجود دارد یکی علامت گذاری سر و بدن رت به وسیله یک رنگ روشن و براق می باشد [۱۵] و روش دیگر قراردادی سنسور فشار زیر پای رت می باشد در این روش بدست آوردن موقعیت دقیق سر و بدن رت دشوار می باشد. روش های جدید و مرسوم در ردیابی رتربات مبتنی بر جریان نوری برای بدست آوردن پارامترهای حرکت (موقعیت سر، موقعیت بدن و جهت سر) و حرکت رتربات است.

ردیابی حرکت: در این روش اولین مهم آن است که رتربات در چه موقعیتی (موقعیت بدن و سر) می باشد و به کدام مسیر در محیط آموزش باید هدایت شود. جزئیات الگوریتم ردیابی حرکت به شرح زیر است:

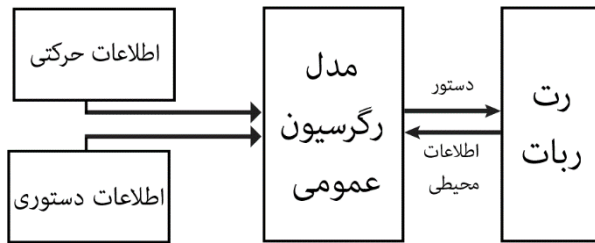
موقعیت بدن: پس از حذف پس زمینه، یک مستطیل کوچک برای پوشش رتربات در تصویر ورودی در نظر می گیرند و مستطیل دیگری که بیشترین پیکسل هدف را دارد ذخیره می شود. میانگین موقعیت ها، موقعیت پیکسل هدف به عنوان موقعیت بدن محاسبه می شود [۱۸].

موقعیت سر: هنگام ردیابی یک هدف متحرک، نقاط ویژگی مانند گوشه ها معمولاً مورد استفاده قرار می گیرد [۵۹]. از آنجایی که رتربات دارای یک کوله پشتی است بیشتر گوشه ها در اطراف منطقه کوله پشتی بسیار نزدیک به سر ظاهر می شود و میانگین موقعیت این گوشه ها را به عنوان موقعیت سر در نظر می گیرند. ویژگی ها را توسط الگوریتم تشخیص ویژگی Shi-Tomasi استخراج کرده اند [۶۰].

اثبات رسیده‌است، یک روش مرسوم برای تحقق بخشیدن به هدایت اتوماتیک رت‌ربات با مدلی ریاضی با یادگیری و تقلید از هدایت انسانی رت‌ربات پیشنهاد شده است. این روش به‌دور از روش‌های مرسوم که سعی در بیان صریح منطق کنترل دارند تعریف شده‌است. مدل ناوربی براساس یادگیری از هدایت انسان بنا شده و اولین روش برای هدایت اتوماتیک بیوربات می‌باشد.



شکل (۱۳) - ماز هشت بازوئی

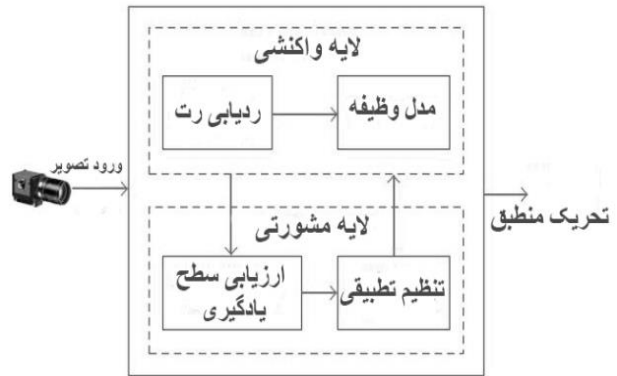


شکل (۱۴) - نحوه شکل‌گیری مدل رگرسیون عمومی

در این روش از مدل ریاضی شبکه‌های عصبی رگرسیون عمومی به عنوان مدل ریاضی استفاده شده‌است. در مرحله اول، رت‌ربات به‌وسیله اپراتور انسانی هدایت می‌شود و دستورات کنترل و تصاویر نظارتی ضبط و حرکت رت‌ربات از تصاویر استخراج شده و به‌عنوان ورودی به‌مدل اعمال می‌شود.

علاوه بر حرکت‌ها، داده‌های دیگری نیز به‌عنوان ورودی گرفته شده‌اند. شرح داده‌های ورودی در جدول ۲ آمده است. دستورات متناظر هماهنگ و براساس برچسب‌ها کدگذاری می‌شوند. با این موارد، مدل شروع به پیکربندی شبکه می‌کند. مرحله دوم، مدل رگرسیون عمومی برای پیش‌بینی دستورات به‌عنوان فرمان کنترل، داده‌های ورودی را طبقه‌بندی می‌کند و در نتیجه هدایت رت‌ربات بدون اپراتور انسانی انجام می‌پذیرد. نمودار الگوریتم در شکل ۱۴ نشان داده شده است. دوربین برای نظارت برکل صحنه آزمایش مهیا شده و تصاویر ویدیویی به‌صورت زمان‌واقعی به‌سیستم نرم‌افزاری منتقل می‌شود. حرکت رت‌ربات توسط ماژول تجزیه و تحلیل حرکت با تکنیک‌های بینایی ماشین ردیابی و استخراج می‌شود و با توجه به پارامترها، ماژول تصمیم‌گیری، دستورات را برای رت‌ربات تولید می‌کند.

طرح وظائف یادگیری یک راهنما برای رت‌ربات در زمانی که رت حرکات نرمال دارد می‌باشد. هنگامی که رت‌ربات رفتارهای غیرطبیعی از خود نشان می‌دهد سیستم ارزیابی وضعیت یادگیری شروع به پردازش می‌کند و براساس سرعت حرکت فعلی رت‌ربات یا مدت زمان بی‌حرکتی تصمیم می‌گیرد.



شکل (۱۲) - چارچوب کلی آموزش خودکار

اگر دیده شود که بی‌حرکتی در یک آزمایش بیش از حد تکرار شده است به این معنی است که تحریک پاداش کم اثر است و باید افزایش یابد. علاوه بر این، اگر حرکت رت‌ربات بیش از حد سریع باشد به این معنی است که تحریک بیش از حد زیاد است و ممکن است رت‌ربات به درستی هدایت نشود و دستورهایی آموزشی (روبه‌جلو، چرخش به چپ و راست) را اشتباه انجام دهد و در این حالت باید شدت پاداش کاهش یابد. در این مدل، تعداد رفتار سکون و سرعت حرکت رت‌ربات به‌طور پیوسته ثبت می‌شود [۱۸].

۴-۲-۲- تنظیم تطبیقی پاداش

تنظیم تطبیقی به‌طور پیوسته اتفاق نمی‌افتد ولی امری مهم در آموزش اتوماتیک می‌باشد. این سیستم تنظیم‌کننده مدل ارزیابی وضعیت یادگیری را براساس دو قانون نوشته شده توسط متخصص آموزش ارائه می‌دهد. دو قاعده به شرح زیر است: اولاً، تعداد رفتارهای بی‌حرکتی و سکون که افزایش سطح تحریک پاداش را به‌همراه دارد. دوماً، در صورت بالا بودن سرعت حرکت، سطح پاداش باید کاهش یابد. براساس پاسخ تحریک هرکدام از رت‌ربات‌ها تحریک پاداش را به سطوح مختلف تقسیم می‌کنند [۶۱]. هر کدام از رت‌ربات‌ها یک محدوده مورد قبول تحریک پاداش دارند و در این رنج مورد قبول، فرض بر آن است که سطح بالاتر هیجان بیشتری برای رت‌ربات خواهد داشت یعنی با افزایش سطح تحریک در این رنج پاسخگویی بهتری را شاهد بوده‌اند. از آنجائی که توانایی انسان برای هدایت رت‌ربات به

^۱ General Regression Neural Network

متغییر هستند بنابراین، تحریک کننده می تواند سیگنال هایی با شکل موج های مختلف برای رفع نیازهای متفاوت، تولید کند.

۵- رویکردهای جدید

مطالعات در سال های اخیر بر روی دو محور اصلی بنا شده است. اولین محور بر مبنای طراحی سیستم هدایت بدون نیاز به آموزش اولیه می باشد دومین محور نوآوری بر مبنای روش ها و اصول مدولاسیون عصبی است (تحریک نوری و اپتوژنتیک) که تا به حال نتایج آن رضایت بخش نبوده است. اکثر پژوهش های صورت پذیرفته در سال های اخیر بر محوریت معرفی نواحی کارآمد در امر هدایت می باشد که بتوان به وسیله این نواحی فاز آموزش اولیه را کوتاه نمایند و همچنین به کارایی بهتری در هدایت اتوماتیک برسند. مطالعات سال اخیر میلادی بر روی تحریک مسیر نیگرواستریاتال [۳۹] و هسته تالاموس-پسترامدیال شکمی [۷۸] افق جدیدی در امر هدایت و جهت دهی رت متصور شده اند. محققان امیدوارند در آینده بدون هیچ آموزش اولیه ای سیستم هدایت کارایی براساس تحریک این نواحی طراحی نمایند و سیستم های هوشمندی از ترکیب هوش مصنوعی و هوش بیولوژیکی پدید آورند که توانایی بهتری نسبت به هوش مصنوعی و بیولوژیکی به تنهایی داشته باشد و راه اندازی این سیستم در کوتاه ترین زمان امکان پذیر باشد. در ادامه شرح مختصری از رویکردهای جدید را آورده ایم. مسیر نیگرواستریاتال به عنوان جدیدترین ناحیه ای معرفی شده است که تحریک این ناحیه جهت دهی و پاداش توام می باشد و نشان داده اند که تحریک الکتریکی نیگرواستریاتال در موش نیاز به آموزش اولیه همانند MFB ندارد [۳۹]. یک روش کنترل جهت یابی جدید از طریق تحریک ناحیه شکمی هسته تالاموس ارائه شده است که از طریق تحریک مصنوعی هسته تالاموس پسترامدیال-شکمی می باشد. تحریک هسته تالاموس پسترامدیال شکمی باعث می شود که عنصر حرکات ارادی از مکانیزم حرکت حذف شود. در مقایسه با روش قبلی (تحریک قشر بارل) این روش پروسه آموزش را حذف کرده است. یادگیری فضایی در سیستم های مبتنی بر کامپیوتر می تواند بر آموزش و تصمیم گیری یک عنصر بیولوژیکی (برای مثال رت) تاثیر بگذارد [۷۸]. وقتی که هوش بیولوژیکی و مصنوعی به هم وصل می شود یک ماهیت جدیدی از هوش را پدید می آورد که هوش سایبورگ نام گذاری کرده اند. یک سری وظایف آموزشی برای بررسی توانایی

این ماژول توسط الگوریتم مدل سازی رگرسیون عمومی کار می کند. دستورات محاسبه شده و منتقل شده به کوله پشتی، توسط تحریک الکتریکی به مغز اعمال می شود [۱۵].

۵-۲-۲-۴- مدارهای تحریک الکتریکی

سیستم رت ربات شامل دو مدول سخت افزاری تحریک کننده و سیستم بی سیم است. سیستم بی سیم از دو بخش ثابت و بخش سیار تشکیل شده است. بخش ثابت شامل یک لپ تاپ، یک ریزپردازنده، فرستنده و گیرنده است و بخش سیار از یک سر و کوله پشتی تشکیل شده است. مدار تحریک کننده، پالس های تحریک را تولید می کند. پردازنده ی اصلی در تحریک کننده یک ریزپردازنده است که سرعت بالا، اندازه ی کوچک و مصرف توان کمی دارد. این خصوصیات این پردازنده را برای استفاده در کوله پشتی روی رت، مناسب می کند. این پردازنده

جدول (۲) - پارامترهای ورودی به مدل

واحد	پارامتر
پیکسل	ΔX
پیکسل	ΔY
درجه	جهت
پیکسل	فاصله (D)
درجه	زاویه چرخش (TA)
درجه	زاویه انحراف (OA)
میلی ثانیه	زمان گذشته از آخرین زمان

دو مبدل آنالوگ به دیجیتال ۱۲ بیتی دارد که خروجی هایی برای تولید شکل موج منظم ایجاد می کند. پالس های تحریک الکتریکی از دو مبدل آنالوگ به دیجیتال پردازنده ی بالا صادر می شود تا برای کنترل یک مدار درایور ولتاژ ثابت و یک مدار درایور جریان ثابت و در نتیجه تولید پالس استفاده شود. با استفاده از سه مدار سوئیچ آنالوگ، تحریک کننده به عنوان تولید کننده ی پالس که خروجی آن پالس های جریانی یا ولتاژی هستند، عمل می کند. دامنه های پالس های خروجی،

ویژگی این سیستم عدم نیاز به آموزش قبلی بود. این سیستم جدید از واسط مغز-کامپیوتر که ورودی را از پتانسیل‌های برانگیخته بینایی دریافت می‌کند و واسط کامپیوتر-مغز که مسیر نیگرواستریاتال موش را هدف قرار می‌دهد ساخته شده است. الکتروود در مسیر نیگرواستریاتال رت کاشته می‌شود و پالس تحریک را اعمال می‌کنند. در صورتی که رت‌ربات چرخشی به اندازه سی‌درجه انجام می‌دهد است آزمایش مورد تایید قرار می‌گرفت که در شکل ۱۵ کاملاً مشهود است. در این آزمایش نیز زمان انجام تسک مورد مهمی است که میانگین سرعت محاسبه شده ۱/۹ متر در دقیقه بوده است [۳۹]. به غیر از تحریک الکتریکی قشر حسی پیکری، روش‌هایی برای ایجاد نشانه‌دهی هدایت در سایر اشکال تحریک نظیر تحریک نوری وجود دارد. هابر و همکاران با ریز تحریک نوری قشر بارل توانسته‌اند رفتاری را به موش در حرکت آزادانه آموزش دهند و موش آموزش‌دیده تحریک نوری را تشخیص دهد [۵۳]. در زمان‌هایی که تحریک‌های تهاجمی ضرورتی ندارد، روش‌های غیر تهاجمی برای نشانه به حیوانات با استفاده از تحریک اپتوژنتیک اعمال می‌شود. سلچیدهاناندام و همکاران ناحیه بارل در رت را به وسیله روش اپتوژنتیک تحریک نموده‌اند و دریافته‌اند که آموزش اپتوژنتیک مبتنی بر پاداش می‌تواند در کنترل رفتار رت مورد استفاده قرار بگیرد [۵۴]. کنترل حرکتی اپتوژنتیک حیوانات بینشی برای شبکه‌های عصبی و نورواناتومی کاربردی که شامل فعالیت ناحیه حسی حرکتی، پاداش، احساسات و یادگیری ترس می‌باشد فراهم کرده است [۴۷، ۵۳، ۶۸، ۶۹] بسیاری از نواحی مغز دارای پتانسیل برای کنترل حرکت حیوانات هستند با این حال تحقیقات کمتری با استفاده از اپتوژنتیک برای طراحی این مکانیزم انجام شده است. تیم‌های تحقیقاتی‌ای قشر حرکتی را بصورت نوری و مستقیم تحریک می‌نمودند [۷۰]. تیم ماتسوحیرو قسمت قدامی قشر حرکتی را تحریک کرده و انقباضات عضله را در اطراف چپ گردن و دست بالایی و چرخش به چپ ثبت کردند [۶۸]. کنترل حرکتی چرخش حتی با وجود نقشه‌های قشر حرکتی چالش برانگیز می‌باشد [۷۱]. تحریک ناحیه حسی حرکتی حیوان باعث بروز رفتار چرخش می‌گردد. حیوانات با ویسکر بطور مثال جوندگان از این حس برای جمع‌آوری اطلاعات برای جهت‌یابی استفاده می‌کنند [۷۲]. با نشانه‌های حسی و آموزش‌ها برپایه پاداش قادر به

یادگیری رت‌ربات در یک ماز پیچیده طراحی کرده‌اند. سه نوع قاعده هدایت در مقالات مطرح شده است:

- ۱- قواعد یادگیری [۲۰].
- ۲- قواعد نرم‌افزاری [۶۲].
- ۳- قواعد ترکیبی و انتقال [۶۳].

الف) قواعد یادگیری

کامپیوتر مسیر هدایت رت را دنبال می‌کند و واحدهای سپری-شده را ذخیره می‌نماید. با استفاده از الگوریتم‌های تقویت‌شده (برای مثال الگوریتم یادگیری Q)، کامپیوتر ماز را توسط برنامه ایی پویا بعد از اولین آزمایش حل می‌کند و براساس جداول-Q نقشه پاداش را طی می‌نماید. کامپیوتر افزایش تحریک پاداش را از نقشه پاداش استخراج می‌کند [۲۰، ۶۳].

ب) قواعد نرم‌افزاری

دوربین کوچکی بر سر رت‌ربات کار گذاشته‌اند و علامت‌ها را شناسایی می‌کند و کامپیوتر براساس علامت‌هایی که از محیط آزمایش، جهت را مشخص می‌کند و در نقطه تصمیم‌گیری اقدام به تحریک ناحیه MFB می‌کند و عمل هدایت به این صورت انجام می‌شود [۶۲].

ج) قواعد ترکیبی و انتقال

کامپیوتر ترکیبی از قواعد افزایش پاداش و پیروی از علامت را با هم در این مدل اعمال می‌نماید به صورتی که ابتدا دوربین کار گذاشته‌شده بر روی سر، علامت را تشخیص می‌دهد و کامپیوتر نیز سطح تحریک MFB را افزایش می‌دهد و رت را در امتداد جهت مشخص شده توسط علامت هدایت می‌کند. واسط‌های مغز-مغز، باعث پیوند مغز افراد به اطلاعات با پهنای‌بند گسترده بدون هیچ‌گونه زبان رسمی یا فعالیتی می‌شود [۶۴]. علاوه بر این واسط‌های مغز-مغز برای ارتباط با حیوانات به خصوص حیوانات آموزش ندیده مفید می‌باشد [۶۵]. اولین واسط مغز-مغز، سیگنال‌های مغزی را از موش رمزگذار برای مطابقت با سیگنال‌های مغزی کورتیکال موش رمزگشا ارسال کرد که اطلاعات رفتاری آنها به اشتراک گذاشته شد [۶۵]. درسال‌های اخیر ارتباطات انسان-انسان با استفاده از واسط‌های مغز-مغز غیرتهاجمی گزارش شده است [۶۶، ۶۷]. تمام سیستم‌های قبلی نیازمند بیهوشی و یا آموزش قبلی بودند که برای رفع این محدودیت یک سیستم جدید واسط مغز-مغز که انسان قادر به کنترل رفتارهای حیوان می‌باشد طراحی شد که

† Steady-State Visually Evoked Potentials(SSVEPS)

‡ Optogenetic

§ Brain To Brain Interface (BBI)

¶ Encoder

‡ Decoder

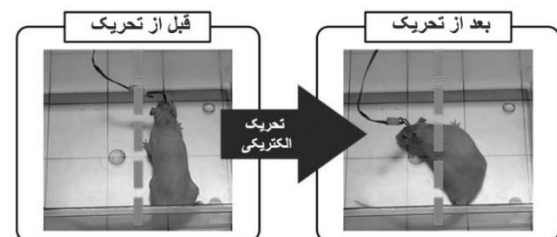
۸- مراجع

- [1] B. Graimann, B. Allison, and G. Pfurtscheller, "Brain-computer interfaces: A gentle introduction," in *Brain-Computer Interfaces*: Springer, 2009, pp. 1-27.
- [2] S. Ahn, K. Kim, and S. C. Jun, "Steady-State Somatosensory Evoked Potential for Brain-Computer Interface—Present and Future," *Frontiers in human neuroscience*, vol. 9, 2015.
- [3] U. Chaudhary, B. Xia, S. Silvoni, L. G. Cohen, and N. Birbaumer, "Brain-computer interface-based communication in the completely locked-in state," *PLoS biology*, vol. 15, no. 1, p. e1002593, 2017.
- [4] L. F. Nicolas-Alonso and J. Gomez-Gil, "Brain computer interfaces, a review," *Sensors*, vol. 12, no. 2, pp. 1211-1279, 2012.
- [5] S. Gopinath et al., "Seizure outcome following primary motor cortex-sparing resective surgery for perirolandic focal cortical dysplasia," *International Journal of Surgery*, vol. 36, pp. 466-476, 2016.
- [6] T. W. Kjaer and H. B. Sørensen, "A brain-computer interface to support functional recovery," in *Clinical Recovery from CNS Damage*, vol. 32: Karger Publishers, 2013, pp. 95-100.
- [7] E. W. Pang and O. Snead Iii, "From structure to circuits: the contribution of MEG connectivity studies to functional neurosurgery," *Frontiers in neuroanatomy*, vol. 10, 2016.
- [8] A. Khorasani, R. Foodeh, V. Shalchyan, and M. R. Daliri, "Brain Control of an External Device by Extracting the Highest Force-related Contents of Local Field Potentials in Freely Moving Rats," *IEEE Transactions on Neural Systems and Rehabilitation Engineering*, 2017.
- [9] A. Khorasani, N. H. Beni, V. Shalchyan, and M. R. Daliri, "Continuous Force Decoding from Local Field Potentials of the Primary Motor Cortex in Freely Moving Rats," *Scientific reports*, vol. 6, p. 35238, 2016.
- [10] R. Holzer and I. Shimoyama, "Locomotion control of a bio-robotic system via electric stimulation," in *Intelligent Robots and Systems, 1997. IROS'97., Proceedings of the 1997 IEEE/RSJ International Conference on*, 1997, vol. 3, pp. 1514-1519: IEEE.
- [11] L. Bao et al., "Flight control of tethered honeybees using neural electrical stimulation," in *Neural Engineering (NER), 2011 5th International IEEE/EMBS Conference on*, 2011, pp. 558-561: IEEE.
- [12] L. Cai, Z. Dai, W. Wang, H. Wang, and Y. Tang, "Modulating motor behaviors by electrical stimulation of specific nuclei in pigeons," *Journal of Bionic Engineering*, vol. 12, no. 4, pp. 555-564, 2015.
- [13] R.-t. Huai, J.-q. Yang, and H. Wang, "The robo-pigeon based on the multiple brain regions

کنترل و هدایت حیوانات می‌گردند [۱۵، ۷۳]. مطالعات بر روی مچخه حرکات جنبشی خوبی را نشان می‌دهد و همبستگی بین مدارهای حسی حرکتی نشان می‌دهند که پتانسیل کنترل حرکات حیوانات را دارند [۷۴].

۶- جمع‌بندی

در این مقاله مروری بر مطالعات مرتبط با سیستم‌های جهت-دهی و هدایت رت توسط تحریک الکتریکی صورت پذیرفته‌است. روش‌های متعددی برای مدالیته فعالیت‌های عصبی مانند روش الکتریکی، اپتیکی، مکانیکی، حرارتی و اپتوژنتیک وجود دارد. در میان این‌ها، مدالیته به‌وسیله تحریک الکتریکی روش اصلی برای برنامه‌های تحقیقاتی و بالینی است و عمدتاً به این دلیل است که سیستم تحریک الکتریکی عصبی را می‌توان به راحتی پیاده‌سازی و کوچک‌سازی کرد. با این وجود، به‌منظور تحریک-لکتریکی به‌طور مؤثر به بافت‌ها یا سلول‌های عصبی، عوامل و پارامترهای متعددی باید در نظر گرفته‌شود. در ابتدا نواحی تحریک الکتریکی را در سه رویکرد متفاوت طبقه‌بندی کرده‌ایم این سه رویکرد پاداش، حسی‌پیکری و موتوری می‌باشد. روش‌های مبتنی بر تحریک پاداش و حسی‌پیکری روش‌های مرسوم



شکل (۱۵) - تغییر در زاویه چرخش رت‌ربات در پاسخ به

تحریک الکتریکی نیم کره راست مغز

مسیر نیگرواستریاتال [۳۹].

در امر هدایت است. سپس اصول و روش‌های تحریک الکتریکی مورد بررسی قرار گرفت. روش‌های هدایت و آموزش رت‌ربات به‌وسیله تحریک الکتریکی دو رویکرد متفاوت دارد در رویکرد اول، آموزش و هدایت رت‌ربات به‌صورت دستی صورت می‌پذیرد و در رویکرد دوم، با الگوبرداری از روش قبل، آموزش و هدایت اتوماتیک را معرفی کرده‌اند و سعی نموده‌اند به وسیله روش‌های ریاضی هدایت اتوماتیک را شکل دهند. در آخر به بررسی رویکردهای جدید در امر هدایت پرداخته‌ایم که در مراحل اولیه بررسی و تکامل می‌باشند.

۷- سپاس‌گزاری

این کار توسط ستاد توسعه علوم و فناوری‌های شناختی مورد حمایت قرار گرفته‌است. (شماره گرنت 3639)

- [29] M. G. Baxter and E. A. Murray, "The amygdala and reward," *Nature reviews. Neuroscience*, vol. 3, no. 7, p. 563, 2002.
- [30] A. Koene and T. J. Prescott, "Hippocampus, Amygdala and Basal Ganglia based navigation control," in *International Conference on Artificial Neural Networks*, 2009, pp. 267-276: Springer.
- [31] S. Chen et al., "Optogenetics based rat-robot control: optical stimulation encodes "stop" and "escape" commands," *Annals of biomedical engineering*, vol. 43, no. 8, pp. 1851-1864, 2015.
- [32] X. Chen, K. Xu, S. Ye, S. Guo, and X. Zheng, "A remote constant current stimulator designed for rat-robot navigation," in *Engineering in Medicine and Biology Society (EMBC), 2013 35th Annual International Conference of the IEEE*, 2013, pp. 2168-2171: IEEE.
- [33] E. E. Benarroch, "Periaqueductal gray An interface for behavioral control," *Neurology*, vol. 78, no. 3, pp. 210-217, 2012.
- [34] G. C. Kincheski, S. R. Mota-Ortiz, E. Pavesi, N. S. Canteras, and A. P. Carobrez, "The dorsolateral periaqueductal gray and its role in mediating fear learning to life threatening events," *PLoS One*, vol. 7, no. 11, p. e50361, 2012.
- [35] D. L. Walker, J. V. Cassella, Y. Lee, T. C. De Lima, and M. Davis, "Opposing roles of the amygdala and dorsolateral periaqueductal gray in fear-potentiated startle," *Neuroscience & Biobehavioral Reviews*, vol. 21, no. 6, pp. 743-753, 1997.
- [36] C. Welker, "Microelectrode delineation of fine grain somatotopic organization of SmI cerebral neocortex in albino rat," *Brain research*, vol. 26, no. 2, pp. 259-275, 1971.
- [37] A. R. Houweling and M. Brecht, "Behavioural report of single neuron stimulation in somatosensory cortex," *e-Neuroforum*, vol. 14, no. 1, pp. 174-176, 2008.
- [38] Y. Yu et al., "Automatic training of ratbot for navigation," in *International Workshop on Intelligence Science, in Conjunction with IJCAI-2013, Beijing, China, 2013*.
- [39] B. Koo et al., "Manipulation of Rat Movement via Nigrostriatal Stimulation Controlled by Human Visually Evoked Potentials," *Scientific Reports*, vol. 7, 2017.
- [40] M. E. Diamond and E. Arabzadeh, "Whisker sensory system—from receptor to decision," *Progress in neurobiology*, vol. 103, pp. 28-40, 2013.
- [41] N. J. Sofroniew, Y. A. Vlasov, S. A. Hires, J. Freeman, and K. Svoboda, "Neural coding in barrel cortex during whisker-guided locomotion," *Elife*, vol. 4, p. e12559, 2015.
- [42] T. E. Robinson, D. M. Camp, and J. B. Becker, "Gonadectomy attenuates turning behavior produced by electrical stimulation of the nigrostriatal dopamine system in female but not male rats," *Neuroscience letters*, vol. 23, no. 2, pp. 203-208, 1981.
- synchronization implanted microelectrodes," *Bioengineered*, vol. 7, no. 4, pp. 213-218, 2016.
- [14] Z.-d. Dai and J.-r. Sun, "A biomimetic study of discontinuous-constraint metamorphic mechanism for gecko-like robot," *Journal of Bionic Engineering*, vol. 4, no. 2, pp. 91-95, 2007.
- [15] C. Sun, N. Zheng, X. Zhang, W. Chen, and X. Zheng, "Automatic navigation for rat-robots with modeling of the human guidance," *Journal of Bionic Engineering*, vol. 10, no. 1, pp. 46-56, 2013.
- [16] S. K. Talwar, S. Xu, E. S. Hawley, S. A. Weiss, K. A. Moxon, and J. K. Chapin, "Behavioural neuroscience: Rat navigation guided by remote control," *Nature*, vol. 417, no. 6884, pp. 37-38, 2002.
- [17] M.-G. Lee et al., "Operant conditioning of rat navigation using electrical stimulation for directional cues and rewards," *Behavioural processes*, vol. 84, no. 3, pp. 715-720, 2010.
- [18] Y. Yu et al., "Automatic training of rat cyborgs for navigation," *Computational intelligence and neuroscience*, vol. 2016, 2016.
- [19] Y. Yu et al., "Intelligence-augmented rat cyborgs in maze solving," *PloS one*, vol. 11, no. 2, p. e0147754, 2016.
- [20] C. Sun, X. Zhang, N. Zheng, W. Chen, and X. Zheng, "Bio-robots automatic navigation with electrical reward stimulation," in *Engineering in Medicine and Biology Society (EMBC), 2012 Annual International Conference of the IEEE*, 2012, pp. 348-351: IEEE.
- [21] Y. Li, S. S. Panwar, and S. Mao, "A wireless biosensor network using autonomously controlled animals," *IEEE Network*, vol. 20, no. 3, pp. 6-11, 2006.
- [22] A. Alcaro, R. Huber, and J. Panksepp, "Behavioral functions of the mesolimbic dopaminergic system: an affective neuroethological perspective," *Brain research reviews*, vol. 56, no. 2, pp. 283-321, 2007.
- [23] O. Yizhar et al., "Neocortical excitation/inhibition balance in information processing and social dysfunction," *Nature*, vol. 477, no. 7363, p. 171, 2011.
- [24] J. R. Krebs, "Animal behaviour: From Skinner box to the field," *Nature*, vol. 304, no. 5922, pp. 117-117, 1983.
- [25] S. R. Flora, *The power of reinforcement*. SUNY Press, 2004.
- [26] W. Schultz, "Neuronal reward and decision signals: from theories to data," *Physiological Reviews*, vol. 95, no. 3, pp. 853-951, 2015.
- [27] T. Dalgleish, "The emotional brain," *Nature reviews. Neuroscience*, vol. 5, no. 7, p. 583, 2004.
- [28] R. Huai, J. Yang, H. Wang, and X. Su, "A new robo-animals navigation method guided by the remote control," in *Biomedical Engineering and Informatics, 2009. BMEI'09. 2nd International Conference on*, 2009, pp. 1-4: IEEE.

- [59] C. Harris and M. Stephens, "A combined corner and edge detector," in *Alvey vision conference*, 1988, vol. 15, no. 50, p. 10.5244: Manchester, UK.
- [60] J. Shi, "Good features to track," in *Computer Vision and Pattern Recognition*, 1994. *Proceedings CVPR'94.*, 1994 IEEE Computer Society Conference on, 1994, pp. 593-600: IEEE.
- [61] C. Zhang, C. Sun, L. Gao, N. Zheng, W. Chen, and X. Zheng, "Bio-robots automatic navigation with graded electric reward stimulation based on Reinforcement Learning," in *Engineering in Medicine and Biology Society (EMBC), 2013 35th Annual International Conference of the IEEE*, 2013, pp. 6901-6904: IEEE.
- [62] Y. Wang et al., "Visual cue-guided rat cyborg for automatic navigation [research frontier]," *IEEE Computational Intelligence Magazine*, vol. 10, no. 2, pp. 42-52, 2015.
- [63] Z. Wu, N. Zheng, S. Zhang, X. Zheng, L. Gao, and L. Su, "Maze learning by a hybrid brain-computer system," *Scientific reports*, vol. 6, 2016.
- [64] B.-K. Min and K.-R. Müller, "Electroencephalography/sonication-mediated human brain-brain interfacing technology," *Trends in biotechnology*, vol. 32, no. 7, p. 345, 2014.
- [65] M. Pais-Vieira, M. Lebedev, C. Kunicki, J. Wang, and M. A. Nicolelis, "A brain-to-brain interface for real-time sharing of sensorimotor information," *Scientific reports*, vol. 3, p. 1319, 2013.
- [66] C. Grau et al., "Conscious brain-to-brain communication in humans using non-invasive technologies," *PLoS One*, vol. 9, no. 8, p. e105225, 2014.
- [67] R. P. Rao et al., "A direct brain-to-brain interface in humans," *PloS one*, vol. 9, no. 11, p. e111332, 2014.
- [68] M. Hashimoto, A. Hata, T. Miyata, and H. Hirase, "Programmable wireless light-emitting diode stimulator for chronic stimulation of optogenetic molecules in freely moving mice," *Neurophotonics*, vol. 1, no. 1, pp. 011002-011002, 2014.
- [69] T. K. Roseberry, A. M. Lee, A. L. Lalive, L. Wilbrecht, A. Bonci, and A. C. Kreitzer, "Cell-type-specific control of brainstem locomotor circuits by basal ganglia," *Cell*, vol. 164, no. 3, pp. 526-537, 2016.
- [70] V. Gradinaru et al., "Targeting and readout strategies for fast optical neural control in vitro and in vivo," *Journal of Neuroscience*, vol. 27, no. 52, pp. 14231-14238, 2007.
- [71] M. Jeong et al., "Comparative three-dimensional connectome map of motor cortical projections in the mouse brain," *Scientific reports*, vol. 6, p. 20072, 2016.
- [72] A. M. Aravanis et al., "An optical neural interface: in vivo control of rodent motor cortex with integrated fiberoptic and optogenetic technology,"
- [43] D. A. Staunton, B. B. Wolfe, P. M. Groves, and P. B. Molinoff, "Dopamine receptor changes following destruction of the nigrostriatal pathway: lack of a relationship to rotational behavior," *Brain research*, vol. 211, no. 2, pp. 315-327, 1981.
- [44] U. Ungerstedt and G. W. Arbuthnott, "Quantitative recording of rotational behavior in rats after 6-hydroxy-dopamine lesions of the nigrostriatal dopamine system," *Brain research*, vol. 24, no. 3, pp. 485-493, 1970.
- [45] E. N. Marieb and K. Hoehn, *Human anatomy & physiology*. Pearson Education, 2007.
- [46] P. Anikeeva, "Optogenetics unleashed," *Nature biotechnology*, vol. 34, no. 1, pp. 43-45, 2016.
- [47] A. Prochazka, "Targeted stimulation of the spinal cord to restore locomotor activity," *Nature medicine*, vol. 22, no. 2, pp. 125-127, 2016.
- [48] K. J. Sekiguchi et al., "Imaging large-scale cellular activity in spinal cord of freely behaving mice," *Nature communications*, vol. 7, 2016.
- [49] E. C. Field-Fote, B. Anderson, V. J. Robertson, and N. I. Spielholz, "Monophasic and biphasic stimulation evoke different responses," *Muscle & nerve*, vol. 28, no. 2, pp. 239-241, 2003.
- [50] J. E. Arle, "The neuromodulation approach," *Essential neuromodulation*. Academic Press, Waltham, pp. 1-16, 2011.
- [51] G. Kantor, G. Alon, and H. S. Ho, "The effects of selected stimulus waveforms on pulse and phase characteristics at sensory and motor thresholds," *Physical Therapy*, vol. 74, no. 10, pp. 951-962, 1994.
- [52] J. P. Reilly, *Applied bioelectricity: from electrical stimulation to electropathology*. Springer Science & Business Media, 2012.
- [53] D. Huber et al., "Sparse optical microstimulation in barrel cortex drives learned behaviour in freely moving mice," *Nature*, vol. 451, no. 7174, p. 61, 2008.
- [54] S. Sachidhanandam, V. Sreenivasan, A. Kyriakatos, Y. Kremer, and C. C. Petersen, "Membrane potential correlates of sensory perception in mouse barrel cortex," *Nature neuroscience*, vol. 16, no. 11, p. 1671, 2013.
- [55] R. W. Doty, "Electrical stimulation of the brain in behavioral context," *Annual review of psychology*, vol. 20, no. 1, pp. 289-320, 1969.
- [56] R. Romo, A. Hernández, A. Zainos, C. D. Brody, and L. Lemus, "Sensing without touching: psychophysical performance based on cortical microstimulation," *Neuron*, vol. 26, no. 1, pp. 273-278, 2000.
- [57] L. Hermer-Vazquez et al., "Rapid learning and flexible memory in "habit" tasks in rats trained with brain stimulation reward," *Physiology & behavior*, vol. 84, no. 5, pp. 753-759, 2005.
- [58] R. A. Wise, "Brain reward circuitry: insights from unsensed incentives," *Neuron*, vol. 36, no. 2, pp. 229-240, 2002.

- Journal of neural engineering, vol. 4, no. 3, p. S143, 2007.
- [73] A. V. Kravitz et al., "Regulation of parkinsonian motor behaviors by optogenetic control of basal ganglia circuitry," *Nature*, vol. 466, no. 7306, p. 622, 2010.
- [74] R. D. Proville et al., "Cerebellum involvement in cortical sensorimotor circuits for the control of voluntary movements," *Nature Neuroscience*, vol. 17, no. 9, pp. 1233-1239, 2014.
- [75] R. Foodeh, A. Khorasani, V. Shalchyan, and M. R. Daliri, "Minimum Noise Estimate Filter: A Novel Automated Artifacts Removal Method for Field Potentials," *IEEE Transactions on Neural Systems and Rehabilitation Engineering*, vol. 25, no. 8, pp. 1143-1152, 2017.
- [76] D. Zhang, Y. Dong, M. Li, and H. Wang, "A radio-telemetry system for navigation and recording neuronal activity in free-roaming rats," *Journal of Bionic Engineering*, vol. 9, no. 4, pp. 402-410, 2012.
- [77] S. Xu, S. K. Talwar, E. S. Hawley, L. Li, and J. K. Chapin, "A multi-channel telemetry system for brain microstimulation in freely roaming animals," *Journal of neuroscience methods*, vol. 133, no. 1, pp. 57-63, 2004.
- [78] K. Xu, J. Zhang, H. Zhou, J. C. T. Lee, and X. Zheng, "A novel turning behavior control method for rat-robot through the stimulation of ventral posteromedial thalamic nucleus," *Behavioural brain research*, vol. 298, pp. 150-157, 2016.
- [79] T. C. Harrison, O. G. Ayling, and T. H. Murphy, "Distinct cortical circuit mechanisms for complex forelimb movement and motor map topography," *Neuron*, vol. 74, no. 2, pp. 397-409, 2012.
- [80] Comte P. Monopolar versus bipolar stimulation. *Stereotactic and Functional Neurosurgery*. 1982;45(1-2):156-9.
- [81] Gao, Lixia, Xinjian Li, Wenwei Yang and Xinde Sun, "Modulation of azimuth tuning plasticity in rat primary auditory cortex by medial prefrontal cortex." *Neuroscience* 347 (2017): 36-47.